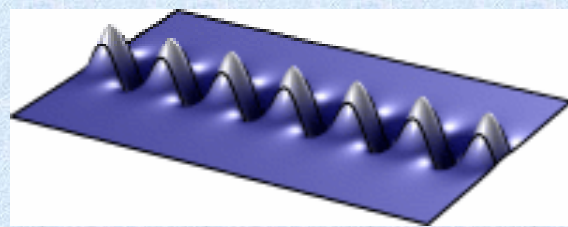
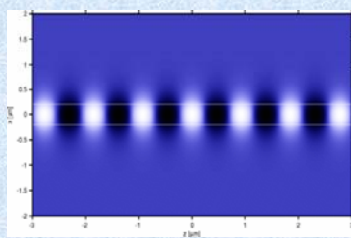


# FIBRAS OPTICAS

## INTRODUCCIÓN

### Introducción



# Introducción

## Métodos de análisis

Óptica Geométrica → “Teoría de Rayos”

Válida sólo si longitud de onda << Dimensiones de la estructura de guiado.

Uso de las leyes de la Reflexión y Refracción + Óptica de Fresnel

Concepto de onda plana.

Óptica Física (ondulatoria) → Ecuaciones de Maxwell + Condiciones de contorno.

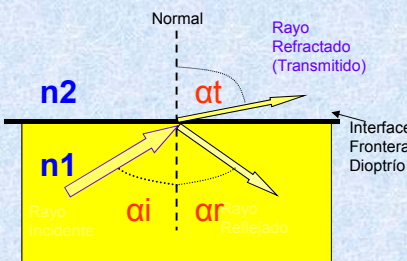
Válida para toda estructura, condiciones de propagación y frecuencia.

Concepto de Modo de Propagación.

Óptica Cuántica

# Introducción

## Leyes de Snell



1<sup>a</sup> Ley: Reflexión

-Rayo incidente y reflejado están en el mismo plano

$$\alpha_i = \alpha_r$$

2<sup>a</sup> Ley: Refracción

-Rayo incidente y refractado están en el mismo plano

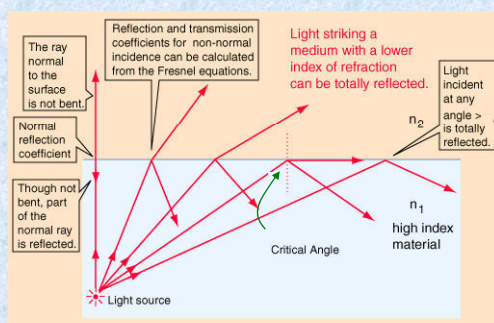
$$n_1 \cdot \sin(\alpha_i) = n_2 \cdot \sin(\alpha_t)$$

# Introducción

## Ángulo Crítico

$$n_1 \cdot \sin(\alpha_{ic}) = n_2 \cdot \sin(\pi/2)$$

$$\alpha_{ic} = \sin^{-1}\left(\frac{n_2}{n_1}\right)$$



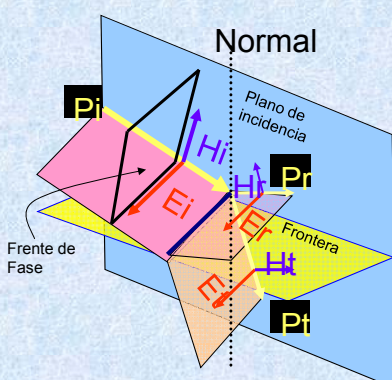
## Ejemplos numéricos:

Interfase Aire / AsGa:  $\alpha_c = \sin^{-1} \frac{n_2}{n_1} = \sin^{-1} \frac{0,3}{1} = 17,45^\circ$

Interfase Aire / Si:  $\alpha_c = \sin^{-1} \frac{n_2}{n_1} = \sin^{-1} \frac{0,7}{1} = 44,42^\circ$

# Introducción

## Polarización TE



$$\begin{aligned} R_{TE} &= \frac{n_1 \cdot \cos \alpha_i - \sqrt{n_2^2 - n_1^2 \cdot \sin^2 \alpha_i}}{n_1 \cdot \cos \alpha_i + \sqrt{n_2^2 - n_1^2 \cdot \sin^2 \alpha_i}} \\ &= \frac{n_1 \cdot \cos \alpha_i - n_2 \cdot \cos \alpha_t}{n_1 \cdot \cos \alpha_i + n_2 \cdot \cos \alpha_t} \end{aligned}$$

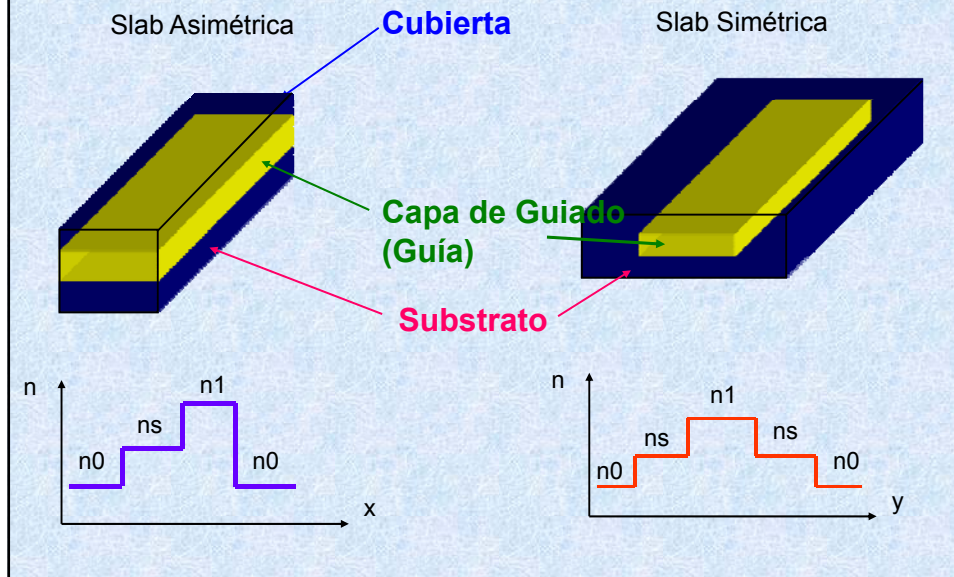
- Para ángulos de incidencia superiores al crítico (Reflexión Total):

$$R_{TE} = 1 \cdot e^{j\phi_{TE}}$$

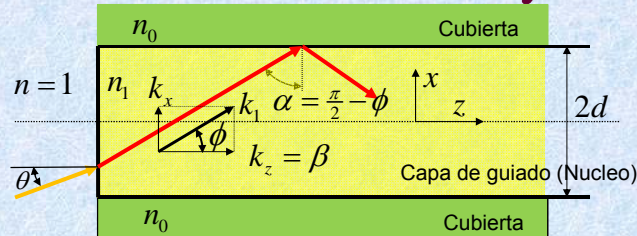
- La onda reflejada tiene la misma amplitud que la incidente pero ha sufrido un cierto desfasaje:

$$\phi_{TE} = 2 \arctan \frac{\sqrt{n_1^2 \cdot \sin^2 \alpha_i - n_2^2}}{n_1 \cdot \cos \alpha_i} \quad \phi_{TM} = 2 \arctan \frac{\sqrt{\sin^2 \alpha_i - (n_2/n_1)^2}}{(n_2/n_1)^2 \cdot \cos \alpha_i}$$

## Guía Dieléctrica Plana (Slab)



## Slab. Teoría de Rayos



$$\text{Reflexión Total} \quad n_1 \sin\left(\frac{\pi}{2} - \phi\right) \geq n_0 \quad \sin \theta = n_1 \sin \phi$$

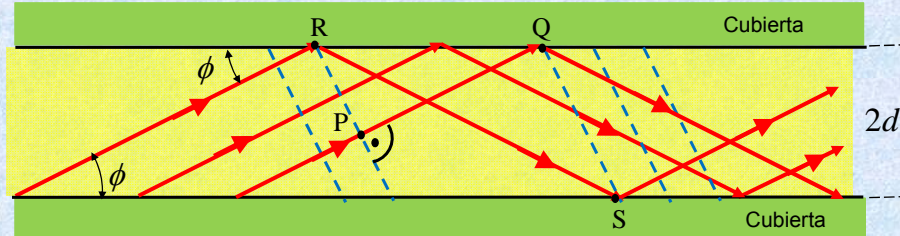
Ángulo de incidencia máximo o apertura numérica (NA)

$$\theta_{\max} = \sin^{-1} \sqrt{n_1^2 - n_0^2} \Rightarrow \theta_{\max} \approx \sqrt{n_1^2 - n_0^2}$$

$$\text{Índice relativo de refracción} \quad \Delta = \frac{n_1^2 - n_0^2}{2n_1^2} \approx \frac{n_1 - n_0}{n_1}$$

$$\left. \begin{array}{l} n_1 = 1.47 \\ n_0 = 1.455 \end{array} \right\} \Rightarrow \Delta = 1\%; \text{NA} = 0.21; \theta_{\max} = 12^\circ; \phi_{\max} = 8.3^\circ$$

## Slab



$\phi$  no puede ser arbitrario. Se debe cumplir que todos los rayos tengan la misma fase en los frente de onda

$$d_{RQ} = \frac{2d}{\tan \phi} - 2d \tan \phi \quad d_{PQ} = d_{RQ} \cos \phi = 2d \left( \frac{1}{\sin \phi} - 2 \sin \phi \right)$$

$$d_{RS} = \frac{2d}{\sin \phi}$$

$$\text{Misma fase en frente de onda } -k_1 d_{RS} + 2\Phi + k_1 d_{PQ} = -2m\pi$$

$\Phi$  Desfasaje por reflexión;  $m$  número entero

## Slab

$$\Phi_{TE} = 2 \arctan \frac{\sqrt{n_1^2 \cdot \sin^2 \alpha_i - n_2^2}}{n_1 \cdot \cos \alpha_i} = 2 \arctan \frac{\sqrt{n_1^2 \cdot \cos^2 \phi - n_0^2}}{n_1 \cdot \sin \phi}$$

$$\Phi_{TE} = 2 \arctan \sqrt{\frac{2\Delta}{\sin^2 \phi} - 1}$$

$$\text{Condición de propagación } \tan \left( k_1 d \sin \phi - \frac{m\pi}{2} \right) = \sqrt{\frac{2\Delta}{\sin^2 \phi} - 1}$$

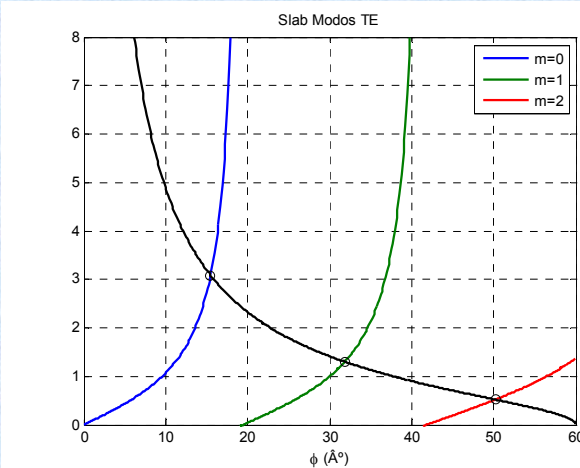
Solo hay un conjunto discreto de direcciones que permiten la propagación

A cada solución de la ecuación se le denomina modo y el correspondiente valor de  $\beta$  se le llama autovalor

Al modo que se propaga con el mínimo ángulo  $\phi$  se le denomina modo fundamental y corresponde con  $m = 0$

## Slab

Solución grafica. Modos TE  $n_1 = 2$ ;  $n_0 = 1$ ;  $f = 4.5\text{GHz}$ ;  $d = 25\text{mm}$



Solución numérica  $\phi_1 = 15.4776^\circ$ ;  $\phi_2 = 31.8463^\circ$ ;  $\phi_3 = 50.2103^\circ$

## Slab

$$\Phi_{\text{TM}} = 2 \arctan \frac{\sqrt{\sin^2 \alpha_i - (n_2/n_1)^2}}{(n_2/n_1)^2 \cdot \cos \alpha_i} = 2 \arctan \frac{\sqrt{\cos^2 \phi - (n_0/n_1)^2}}{(n_0/n_1)^2 \cdot \sin \phi}$$

$$\Phi_{\text{TM}} = 2 \arctan \left( \frac{n_1^2}{n_0^2} \sqrt{\frac{2\Delta}{\sin^2 \phi} - 1} \right)$$

$$\text{Condición de propagación } \tan \left( k_1 d \sin \phi - \frac{m\pi}{2} \right) = \frac{n_1^2}{n_0^2} \sqrt{\frac{2\Delta}{\sin^2 \phi} - 1}$$

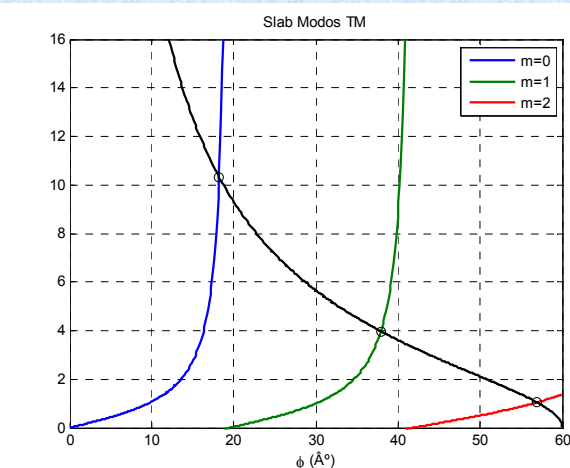
Solo hay un conjunto discreto de direcciones que permiten la propagación

A cada solución de la ecuación se le denomina modo y el correspondiente valor de  $\beta$  se le llama autovalor

Al modo que se propaga con el mínimo ángulo  $\phi$  se le denomina modo fundamental y corresponde con  $m = 0$

## Slab

Solución grafica. Modos  $\text{TM}n_1 = 2$ ;  $n_0 = 1$ ;  $f = 4.5 \text{ GHz}$ ;  $d = 25 \text{ mm}$



Solución numérica  $\phi_1 = 18.2308^\circ$ ;  $\phi_2 = 37.9051^\circ$ ;  $\phi_3 = 56.9228^\circ$

## Slab

- Sólo se propaga un conjunto discreto de trayectorias estables dentro de la guía slab.
- Cuanto mayor es el cociente entre  $d$  y  $\lambda$  menor es el ángulo de despegue respecto al eje longitudinal.
- Siempre existe un punto de corte, por tanto no existe situación de **corte** en el modo fundamental.
- Cada trayectoria permitida se identifica con un **MODO** de propagación.

## Slab. Ecuación de onda

Modos TE

$$\left( \frac{\partial^2}{\partial x^2} + \frac{\partial^2}{\partial y^2} + k_{ci}^2 \right) h_z^i = 0 \Rightarrow \begin{cases} \left( \frac{\partial^2}{\partial x^2} + k_{ci}^2 \right) h_z^i = 0 \\ k_{ci}^2 = k^2 n_i^2 - \beta^2 \end{cases} \Rightarrow \begin{cases} u^2 = k_{ci}^2 = k^2 n_1^2 - \beta^2 \\ w^2 = -k_{c0}^2 = \beta^2 - k^2 n_0^2 \end{cases}$$

Solución general

Nucleo       $h_z(x) = \begin{cases} A_{no} \cos ux & \text{Modo Impar} \\ A_{ne} \sin ux & \text{Modo Par} \end{cases}$

Cubierta      $h_z(x) = \begin{cases} A_{co} e^{-wx} & x > d \\ A_{co} e^{wx} & x < -d \end{cases} \Rightarrow \text{Modo Impar}$

$\begin{cases} A_{ce} e^{-wx} & x > d \\ -A_{ce} e^{wx} & x < -d \end{cases} \Rightarrow \text{Modo Par}$

## Slab

Para que las soluciones representen ondas físicas reales:

$$\left. \begin{array}{l} u^2 > 0 \Rightarrow k n_1 > \beta \\ w^2 > 0 \Rightarrow \beta > k n_0 \end{array} \right\} \Rightarrow k n_0 < \beta < k n_1$$

Modo TE impar. Condiciones de contorno

$$h_z(d^-) = h_z(d^+); \quad h_z(-d^-) = h_z(-d^+)$$

$$A_{no} \cos(u d) = A_{co} e^{-wd}$$

$$e_y(d^-) = e_y(d^+); \quad e_y(-d^-) = e_y(-d^+)$$

$$\frac{j\omega\mu}{k_{c1}^2} \frac{\partial h_z}{\partial x} \Big|_{x=d^-} = \frac{j\omega\mu}{k_{c0}^2} \frac{\partial h_z}{\partial x} \Big|_{x=d^+}; \quad \frac{j\omega\mu}{k_{c1}^2} \frac{\partial h_z}{\partial x} \Big|_{x=-d^-} = \frac{j\omega\mu}{k_{c0}^2} \frac{\partial h_z}{\partial x} \Big|_{x=-d^+}$$

$$\frac{-u A_{no} \sin(u d)}{u^2} = \frac{-w A_{co} e^{-wd}}{-w^2} \Rightarrow w A_{no} \sin(u d) = -u A_{co} e^{-wd}$$

Ecuación de dispersión

$$w \tan(u d) = -u$$

# Slab

Modo TE par. Condiciones de contorno

$$h_z(d^-) = h_z(d^+); \quad h_z(-d^-) = h_z(-d^+)$$

$$A_{ne} \sin(ud) = A_{ce} e^{-wd}$$

$$e_y(d^-) = e_y(d^+); \quad e_y(-d^-) = e_y(-d^+)$$

$$\frac{j\omega\mu}{k_{c1}^2} \frac{\partial h_z}{\partial x} \Big|_{x=d^-} = \frac{j\omega\mu}{k_{c0}^2} \frac{\partial h_z}{\partial x} \Big|_{x=d^+}; \quad \frac{j\omega\mu}{k_{c1}^2} \frac{\partial h_z}{\partial x} \Big|_{x=-d^-} = \frac{j\omega\mu}{k_{c0}^2} \frac{\partial h_z}{\partial x} \Big|_{x=-d^+}$$

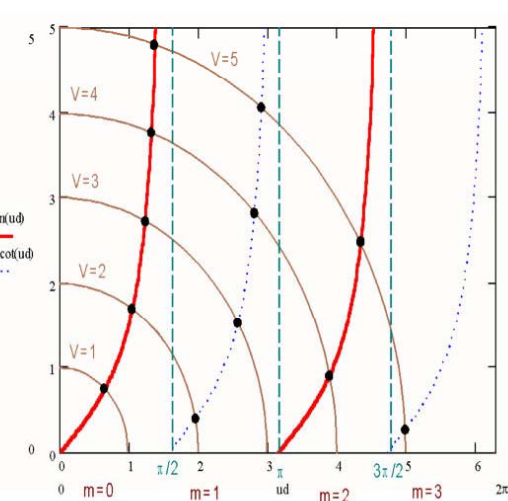
$$\frac{uA_{ne} \cos(ud)}{u^2} = \frac{-wA_{ce} e^{-wd}}{-w^2} \Rightarrow wA_{ne} \cos(ud) = uA_{ce} e^{-wd}$$

Ecuación de dispersión

$$u \tan(ud) = w$$

# Slab

Se define la **FRECUENCIA NORMALIZADA** de la guía (o Anchura Normalizada) **V**:



$$\begin{aligned} V &\triangleq \sqrt{(ud)^2 + (wd)^2} = \\ &(u^2 + w^2)^{1/2} d = \\ &\left(k^2 n_1^2 - \beta^2 + \beta^2 - k^2 n_2^2\right)^{1/2} d = \\ &k \left(n_1^2 - n_2^2\right)^{1/2} d \end{aligned}$$

# Slab

Campos transversales. Modos TE

$$h_x = \frac{-j\beta}{k_c^2} \frac{\partial h_z}{\partial x} \quad e_x = \frac{-j\omega\mu}{k_c^2} \frac{\partial h_z}{\partial y}$$

$$h_y = \frac{-j\beta}{k_c^2} \frac{\partial H_z}{\partial y} \quad e_y = \frac{j\omega\mu}{k_c^2} \frac{\partial h_z}{\partial x}$$

$$\text{Slab } h_y = 0 \quad e_x = 0$$

Modo Impar

$$h_z = \begin{cases} A_{no} \cos ux & |x| < d \\ A_{co} e^{-wx} & x > d \\ A_{co} e^{wx} & x < -d \end{cases} \quad \xrightarrow{\quad} \quad h_z = \begin{cases} A_{no} \cos ux & |x| < d \\ A_{no} \cos ud e^{-w(x-d)} & x > d \\ A_{no} \cos ud e^{w(x+d)} & x < -d \end{cases}$$

$$A_{co} = A_{no} \cos(ud) e^{wd}$$

# Slab

Campos transversales. Modo TE impar

$$e_y = \begin{cases} -\frac{j\omega\mu}{u} A_{no} \sin ux & |x| < d \\ \frac{j\omega\mu}{w} A_{no} \cos ud e^{-w(x-d)} & x > d \\ \frac{j\omega\mu}{-w} A_{no} \cos ud e^{w(x+d)} & x < -d \end{cases}$$

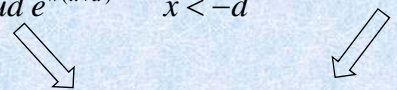
$$\xrightarrow{\quad} \quad -u \frac{\cos(ud)}{\sin(ud)} = w$$

$$e_y = \begin{cases} -\frac{j\omega\mu}{u} A_{no} \sin ux & |x| < d \\ -\frac{j\omega\mu}{u} A_{no} \sin ud e^{-w(x-d)} & x > d \\ \frac{j\omega\mu}{u} A_{no} \sin ud e^{w(x+d)} & x < -d \end{cases}$$

## Slab

Campos transversales. Modo TE impar

$$h_x = \begin{cases} \frac{j\beta}{u} A_{no} \sin ux & |x| < d \\ \frac{-j\beta}{w} A_{no} \cos ud e^{-w(x-d)} & x > d \\ \frac{j\beta}{w} A_{no} \cos ud e^{w(x+d)} & x < -d \end{cases}$$



$$h_x = \begin{cases} \frac{j\beta}{u} A_{no} \sin ux & |x| < d \\ \frac{j\beta}{u} A_{no} \sin ud e^{-w(x-d)} & x > d \\ -\frac{j\beta}{u} A_{no} \sin ud e^{w(x+d)} & x < -d \end{cases}$$



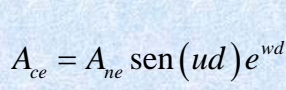
## Slab

Modo Par

$$h_z = \begin{cases} A_{ne} \sin ux & |x| < d \\ A_{ce} e^{-wx} & x > d \\ -A_{ce} e^{wx} & x < -d \end{cases}$$

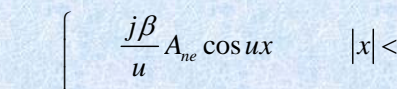


$$h_z = \begin{cases} A_{ne} \sin ux & |x| < d \\ A_{ne} \sin ud e^{-w(x-d)} & x > d \\ -A_{ne} \sin ud e^{w(x+d)} & x < -d \end{cases}$$



$$A_{ce} = A_{ne} \sin(ud) e^{wd}$$

$$e_y = \begin{cases} \frac{j\omega\mu}{u} A_{ne} \cos ux & |x| < d \\ \frac{j\omega\mu}{u} A_{ne} \cos ud e^{-w(x-d)} & x > d \\ \frac{j\omega\mu}{u} A_{ne} \cos ud e^{w(x+d)} & x < -d \end{cases}$$



$$h_x = \begin{cases} \frac{j\beta}{u} A_{ne} \cos ux & |x| < d \\ \frac{j\beta}{u} A_{ne} \cos ud e^{-w(x-d)} & x > d \\ \frac{j\beta}{u} A_{ne} \cos ud e^{w(x+d)} & x < -d \end{cases}$$

## Slab

Capa de guiado:  $-d < x < d$

$$E_y(x) = \begin{cases} E_e \cdot \cos(u_m \cdot x); m = 0, 2, \dots \\ E_o \cdot \sin(u_m \cdot x); m = 1, 3, \dots \end{cases} |x| \leq d$$

Capas de confinamiento:  $x < -d ; x > d$

$$E_y(x) = E_s \cdot e^{-|w_m \cdot x|}; m = 0, 1, 2, 3, \dots; |x| \geq d$$

Número de Modos propagados:

Si  $V < \pi/2 \rightarrow$  sólo un punto de corte  $\rightarrow$  sólo se propaga el modo  $TE_0$

Si  $\pi/2 < V < \pi \rightarrow$  se propagan los modos:  $TE_0$  (par), y  $TE_1$  (impar)

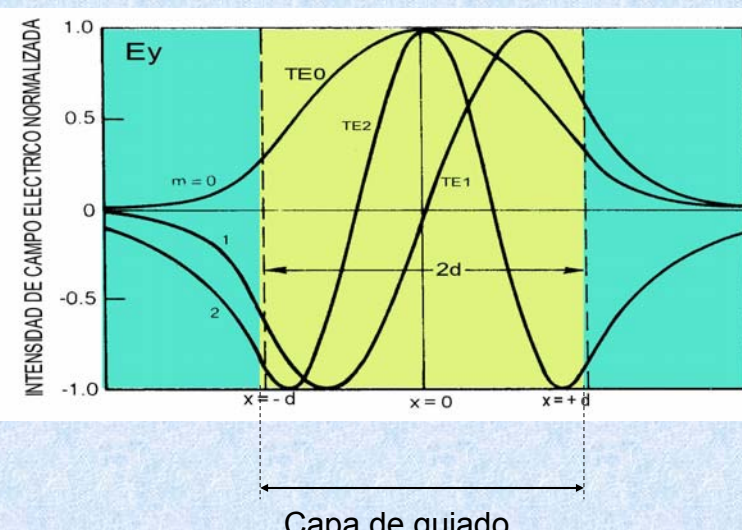
Si  $\pi < V < 3\pi/2 \rightarrow$  se propagan los modos:  $TE_0$ ,  $TE_1$  y  $TE_2$

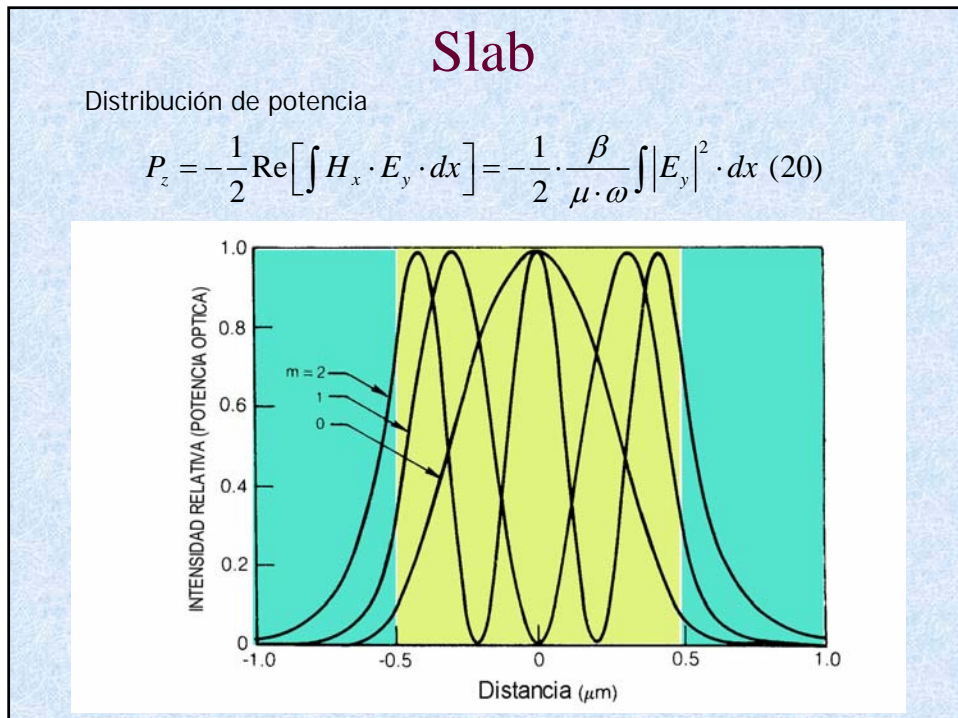
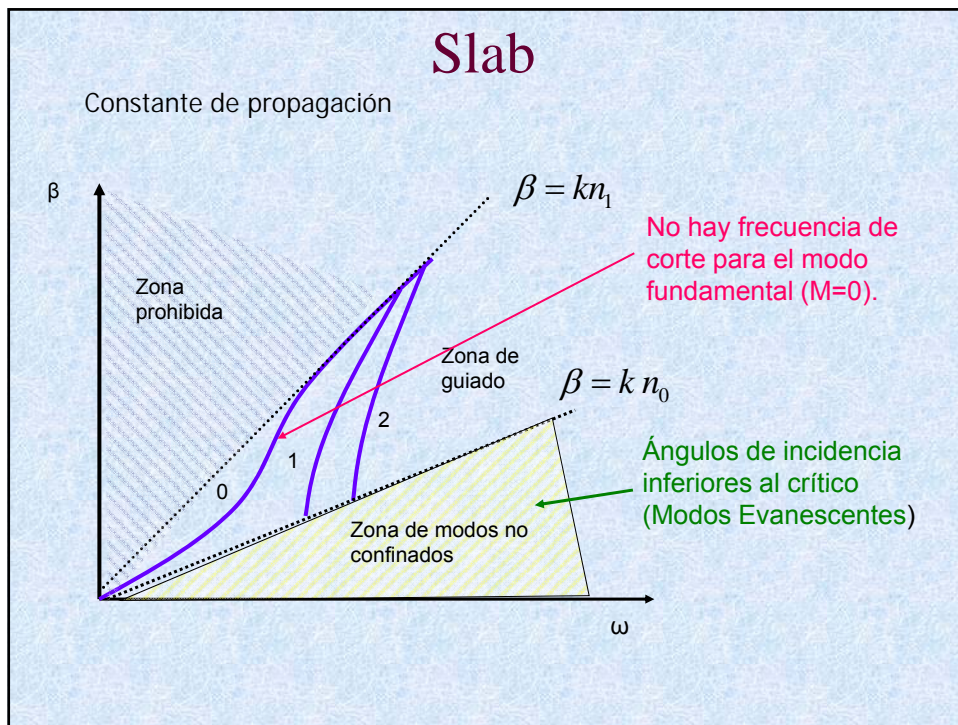
En general: Número de modos TE que soporta el slab es :

$$M = E \uparrow \left[ \frac{2 \cdot V}{\pi} \right]$$

## Slab

Distribución de campo eléctrico





## Slab

Factor de confinamiento

$$\Gamma \triangleq \frac{I_1}{I_1 + I_0} = \frac{I_{in}}{I_{in} + I_{out}} = \frac{\int_0^d |E_y(x)|^2 dx}{\int_{-\infty}^{\infty} |E_y(x)|^2 dx}$$

Para los modos TE

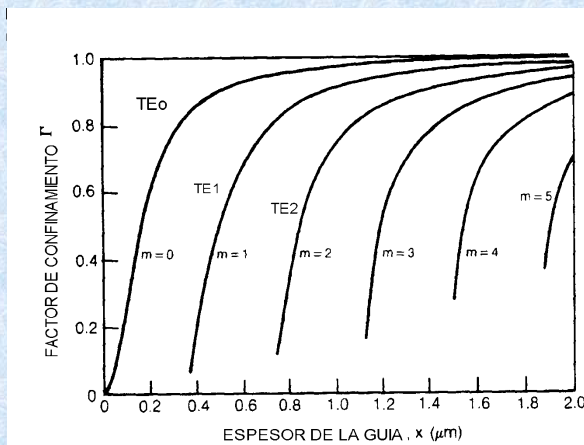
$$\Gamma = \frac{1}{1 + \frac{\cos^2(u_m \cdot d)}{w_m \cdot \left[ d + \left( \frac{1}{u_m} \right) \cdot \sin(u_m \cdot d) \cdot \cos(u_m \cdot d) \right]}}$$

Para los modos TE<sub>0</sub>

$$\Gamma \approx \frac{2 \cdot V^2}{1 + 2 \cdot V^2}$$

## Slab

Factor de confinamiento



Datos de la guía:  $n_1 = 3,590$ ;  $n_2 = 3,385$ ;  $\lambda = 0,9 \mu\text{m}$

## Slab. Ecuación de onda

Modos TM

$$\left( \frac{\partial^2}{\partial x^2} + \frac{\partial^2}{\partial y^2} + k_{ci}^2 \right) e_z^i = 0 \Rightarrow \begin{cases} \left( \frac{\partial^2}{\partial x^2} + k_{ci}^2 \right) e_z^i = 0 \\ k_{ci}^2 = k^2 n_i^2 - \beta^2 \end{cases} \Rightarrow \begin{cases} u^2 = k_{c1}^2 = k^2 n_1^2 - \beta^2 \\ w^2 = -k_{c0}^2 = \beta^2 - k^2 n_0^2 \end{cases}$$

Solución general

Nucleo       $e_z(x) = \begin{cases} A_{no} \cos ux & \text{Modo Impar} \\ A_{ne} \sin ux & \text{Modo Par} \end{cases}$

Cubierta      $e_z(x) = \begin{cases} A_{co} e^{-wx} & x > d \\ A_{co} e^{wx} & x < -d \end{cases} \Rightarrow \text{Modo Impar}$

$\begin{cases} A_{ce} e^{-wx} & x > d \\ -A_{ce} e^{wx} & x < -d \end{cases} \Rightarrow \text{Modo Par}$

## Slab

Para que las soluciones representen ondas físicas reales:

$$\left. \begin{array}{l} u^2 > 0 \Rightarrow k n_1 > \beta \\ w^2 > 0 \Rightarrow \beta > k n_0 \end{array} \right\} \Rightarrow k n_0 < \beta < k n_1$$

Modo TM impar. Condiciones de contorno

$$e_z(d^-) = e_z(d^+); \quad e_z(-d^-) = e_z(-d^+)$$

$$A_{no} \cos(u d) = A_{co} e^{-wd}$$

$$h_y(d^-) = h_y(d^+); \quad h_y(-d^-) = h_y(-d^+)$$

$$\left. \frac{j\omega \epsilon_1}{k_{c1}^2} \frac{\partial e_z}{\partial x} \right|_{x=d^-} = \left. \frac{j\omega \epsilon_0}{k_{c0}^2} \frac{\partial e_z}{\partial x} \right|_{x=d^+}; \quad \left. \frac{j\omega \epsilon_1}{k_{c1}^2} \frac{\partial e_z}{\partial x} \right|_{x=-d^-} = \left. \frac{j\omega \epsilon_0}{k_{c0}^2} \frac{\partial e_z}{\partial x} \right|_{x=-d^+}$$

$$\frac{-u \epsilon_1 A_{no} \sin(u d)}{u^2} = \frac{-w \epsilon_0 A_{co} e^{-wd}}{-w^2} \Rightarrow w \epsilon_1 A_{no} \sin(u d) = -u \epsilon_0 A_{co} e^{-wd}$$

Ecuación de dispersión

$$w \epsilon_1 \tan(u d) = -u \epsilon_0$$

# Slab

Modo TM par. Condiciones de contorno

$$e_z(d^-) = e_z(d^+); \quad e_z(-d^-) = e_z(-d^+)$$

$$A_{ne} \sin(ud) = A_{ce} e^{-wd}$$

$$h_y(d^-) = h_y(d^+); \quad h_y(-d^-) = h_y(-d^+)$$

$$\frac{j\omega\epsilon_1}{k_{c1}^2} \frac{\partial e_z}{\partial x} \Big|_{x=d^-} = \frac{j\omega\epsilon_0}{k_{c0}^2} \frac{\partial e_z}{\partial x} \Big|_{x=d^+}; \quad \frac{j\omega\epsilon_1}{k_{c1}^2} \frac{\partial e_z}{\partial x} \Big|_{x=-d^-} = \frac{j\omega\epsilon_0}{k_{c0}^2} \frac{\partial e_z}{\partial x} \Big|_{x=-d^+}$$

$$\frac{u\epsilon_1 A_{ne} \cos(ud)}{u^2} = \frac{-w\epsilon_0 A_{ce} e^{-wd}}{-w^2} \Rightarrow w\epsilon_1 A_{ne} \cos(ud) = u\epsilon_0 A_{ce} e^{-wd}$$

Ecuación de dispersión

$$u\epsilon_0 \tan(ud) = w\epsilon_1$$

# Slab

Campos transversales. Modos TM

$$e_x = \frac{-j\beta}{k_c^2} \frac{\partial e_z}{\partial x} \quad h_x = \frac{j\omega\epsilon}{k_c^2} \frac{\partial e_z}{\partial y}$$

$$e_y = \frac{-j\beta}{k_c^2} \frac{\partial e_z}{\partial y} \quad h_y = \frac{-j\omega\epsilon}{k_c^2} \frac{\partial e_z}{\partial x}$$

$$\text{Slab } e_y = 0 \quad h_x = 0$$

Modo Impar

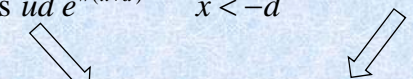
$$e_z = \begin{cases} A_{no} \cos ux & |x| < d \\ A_{co} e^{-wx} & x > d \\ A_{co} e^{wx} & x < -d \end{cases} \quad \xrightarrow{\quad} \quad e_z = \begin{cases} A_{no} \cos ux & |x| < d \\ A_{no} \cos ud e^{-w(x-d)} & x > d \\ A_{no} \cos ud e^{w(x+d)} & x < -d \end{cases}$$

$$A_{co} = A_{no} \cos(ud) e^{wd}$$

## Slab

Campos transversales. Modo TM impar

$$h_y = \begin{cases} \frac{j\omega\epsilon_1}{u} A_{no} \sin ux & |x| < d \\ -\frac{j\omega\epsilon_0}{w} A_{no} \cos ud e^{-w(x-d)} & x > d \\ \frac{j\omega\epsilon_0}{w} A_{no} \cos ud e^{w(x+d)} & x < -d \end{cases}$$



$$h_y = \begin{cases} \frac{j\omega\epsilon_1}{u} A_{no} \sin ux & |x| < d \\ \frac{j\omega\epsilon_1}{u} A_{no} \sin ud e^{-w(x-d)} & x > d \\ -\frac{j\omega\epsilon_1}{u} A_{no} \sin ud e^{w(x+d)} & x < -d \end{cases}$$

## Slab

Campos transversales. Modo TM impar

$$e_x = \begin{cases} \frac{j\beta}{u} A_{no} \sin ux & |x| < d \\ -\frac{j\beta}{w} A_{no} \cos ud e^{-w(x-d)} & x > d \\ \frac{j\beta}{w} A_{no} \cos ud e^{w(x+d)} & x < -d \end{cases}$$



$$e_x = \begin{cases} \frac{j\beta}{u} A_{no} \sin ux & |x| < d \\ \frac{j\beta \epsilon_1}{u \epsilon_0} A_{no} \sin ud e^{-w(x-d)} & x > d \\ -\frac{j\beta \epsilon_1}{u \epsilon_0} A_{no} \sin ud e^{w(x+d)} & x < -d \end{cases}$$

## Slab

Modo Par

$$e_z = \begin{cases} A_{ne} \operatorname{sen} ux & |x| < d \\ A_{ce} e^{-wx} & x > d \\ -A_{ce} e^{wx} & x < -d \end{cases} \quad \Rightarrow \quad e_z = \begin{cases} A_{ne} \operatorname{sen} ux & |x| < d \\ A_{ne} \operatorname{sen} ud e^{-w(x-d)} & x > d \\ -A_{ne} \operatorname{sen} ud e^{w(x+d)} & x < -d \end{cases}$$

$$A_{ce} = A_{ne} \operatorname{sen}(ud) e^{wd}$$

$$h_y = \begin{cases} -\frac{j\omega\epsilon_1}{u} A_{ne} \cos ux & |x| < d \\ -\frac{j\omega\epsilon_1}{u} A_{ne} \cos ud e^{-w(x-d)} & x > d \\ -\frac{j\omega\epsilon_1}{u} A_{ne} \cos ud e^{w(x+d)} & x < -d \end{cases}$$

$$e_x = \begin{cases} -\frac{j\beta}{u} A_{ne} \cos ux & |x| < d \\ -\frac{j\beta}{u} \frac{\epsilon_1}{\epsilon_0} A_{ne} \cos ud e^{-w(x-d)} & x > d \\ -\frac{j\beta}{u} \frac{\epsilon_1}{\epsilon_0} A_{ne} \cos ud e^{w(x+d)} & x < -d \end{cases}$$

## Slab

Modo TM Par. Energía

$$\vec{E} = \begin{cases} A_{ne} \left( \operatorname{sen} ux \hat{z} - \frac{j\beta}{u} \cos ux \hat{x} \right) e^{-j\beta z} & |x| < d \\ A_{ne} e^{-w(x-d)} \left( \operatorname{sen} ud \hat{z} - \frac{j\beta}{u} \frac{\epsilon_1}{\epsilon_0} \cos ud \hat{x} \right) e^{-j\beta z} & x > d \\ -A_{ne} e^{w(x+d)} \left( \operatorname{sen} ud \hat{z} - \frac{j\beta}{u} \frac{\epsilon_1}{\epsilon_0} \cos ud \hat{x} \right) e^{-j\beta z} & x < -d \end{cases}$$

$$\vec{H}^* = \begin{cases} \frac{j\omega\epsilon_1}{u} A_{ne}^* \cos ux e^{j\beta z} \hat{y} & |x| < d \\ \frac{j\omega\epsilon_1}{u} A_{ne}^* \cos ud e^{-w(x-d)} e^{j\beta z} \hat{y} & x > d \\ \frac{j\omega\epsilon_1}{u} A_{ne}^* \cos ud e^{w(x+d)} e^{j\beta z} \hat{y} & x < -d \end{cases}$$

# Slab

Modo TM Par. Energía

$$\frac{1}{2} \operatorname{Re} [\vec{E} \times \vec{H}^*] = \begin{cases} \hat{z} \frac{|A_{ne}|^2}{2} \frac{\beta \omega \epsilon_1}{u^2} \cos^2 ux & |x| < d \\ \hat{z} \frac{|A_{ne}|^2}{2} \frac{\beta \omega}{u^2} \frac{\epsilon_1^2}{\epsilon_0} \cos^2 ud e^{-2w(x-d)} & x > d \\ \hat{z} \frac{|A_{ne}|^2}{2} \frac{\beta \omega}{u^2} \frac{\epsilon_1^2}{\epsilon_0} \cos^2 ud e^{2w(x+d)} & x < -d \end{cases}$$

$$P_T = \int_{-\infty}^{\infty} \frac{1}{2} \operatorname{Re} [\vec{E} \times \vec{H}^*] \cdot \hat{z} dx = I_1 + I_2 + I_3 \Rightarrow \begin{cases} I_1 = \frac{|A_{ne}|^2}{2} \frac{\beta \omega \epsilon_1}{u^2} \int_{-d}^d \cos^2 ux dx \\ I_2 = \frac{|A_{ne}|^2}{2} \frac{\beta \omega}{u^2} \frac{\epsilon_1^2}{\epsilon_0} \cos^2 ud \int_d^{\infty} e^{-2w(x-d)} dx \\ I_3 = \frac{|A_{ne}|^2}{2} \frac{\beta \omega}{u^2} \frac{\epsilon_1^2}{\epsilon_0} \cos^2 ud \int_{-\infty}^{-d} e^{2w(x+d)} dx \end{cases}$$

# Slab

Modo TM Par. Energía

$$I_1 = \frac{|A_{ne}|^2}{2} \frac{\beta \omega \epsilon_1}{u^2} \left( d + \frac{\sin 2ud}{2u} \right)$$

$$I_2 = \frac{|A_{ne}|^2}{2} \frac{\beta \omega}{u^2} \frac{\epsilon_1^2}{\epsilon_0} \cos^2 ud \frac{1}{2w}$$

$$I_3 = I_2 = \frac{|A_{ne}|^2}{2} \frac{\beta \omega}{u^2} \frac{\epsilon_1^2}{\epsilon_0} \cos^2 ud \frac{1}{2w}$$

$$P_T = \frac{|A_{ne}|^2}{2} \frac{\beta \omega \epsilon_1}{u^2} \left( d + \frac{\sin 2ud}{2u} + \frac{\epsilon_1}{w \epsilon_0} \cos^2 ud \right) \text{Wm}^{-1}$$

# Slab

Modo TM Par. Energía

$$I_1 = \frac{|A_{ne}|^2}{2} \frac{\beta\omega\epsilon_1}{u^2} \left( d + \frac{\sin 2ud}{2u} \right)$$

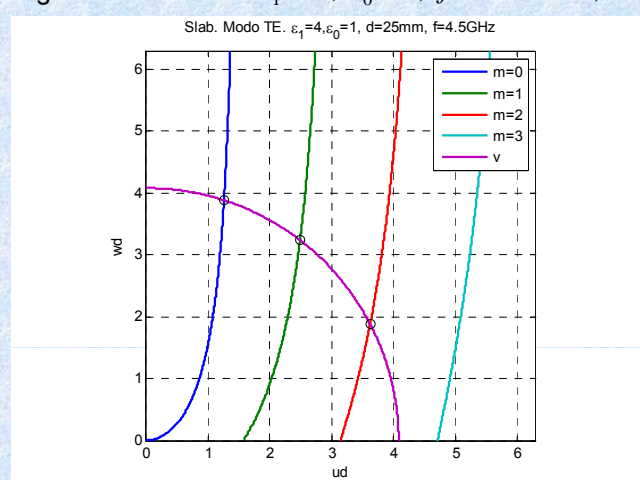
$$I_2 = \frac{|A_{ne}|^2}{2} \frac{\beta\omega}{u^2} \frac{\epsilon_1^2}{\epsilon_0} \cos^2 ud \frac{1}{2w}$$

$$I_3 = I_2 = \frac{|A_{ne}|^2}{2} \frac{\beta\omega}{u^2} \frac{\epsilon_1^2}{\epsilon_0} \cos^2 ud \frac{1}{2w}$$

$$P_T = \frac{|A_{ne}|^2}{2} \frac{\beta\omega\epsilon_1}{u^2} \left( d + \frac{\sin 2ud}{2u} + \frac{\epsilon_1}{w\epsilon_0} \cos^2 ud \right) \text{Wm}^{-1}$$

# Slab

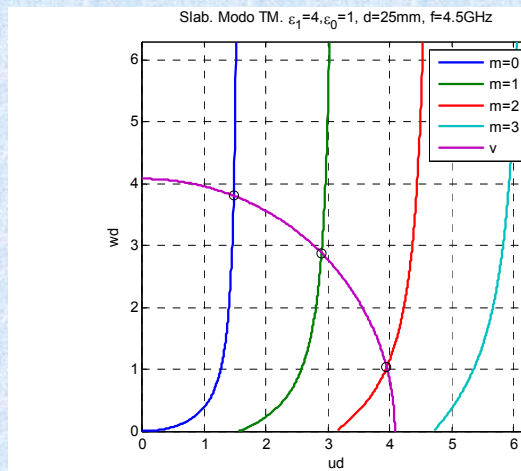
Solución grafica. Modos TE  $n_1 = 2$ ;  $n_0 = 1$ ;  $f = 4.5\text{GHz}$ ;  $d = 25\text{mm}$



Solución numérica  $\phi_1 = 15.4776^\circ; \phi_2 = 31.8463^\circ; \phi_3 = 50.2103^\circ$

## Slab

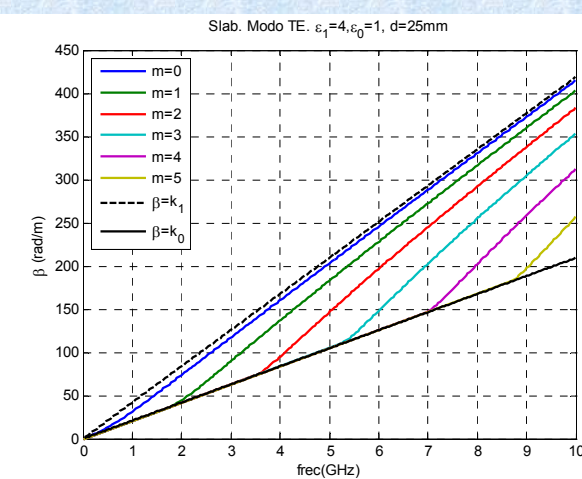
Solución grafica. Modos TM  $n_1 = 2$ ;  $n_0 = 1$ ;  $f = 4.5\text{GHz}$ ;  $d = 25\text{ mm}$



Solución numérica  $\phi_1 = 18.2308^\circ$ ;  $\phi_2 = 37.9051^\circ$ ;  $\phi_3 = 56.9228^\circ$

## Slab

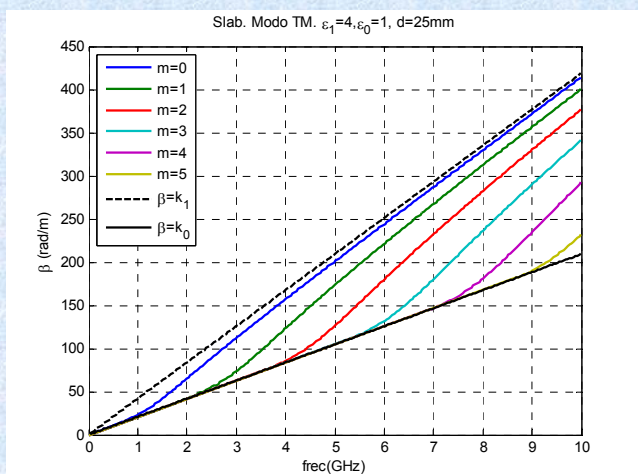
Modos TE  $n_1 = 2$ ;  $n_0 = 1$ ;  $f = 4.5\text{GHz}$ ;  $d = 25\text{ mm}$



Constante de propagación

## Slab

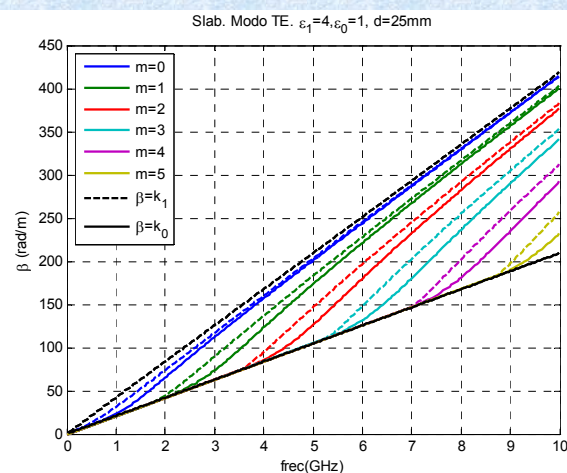
Modos TE  $n_1 = 2$ ;  $n_0 = 1$ ;  $f = 4.5$  GHz;  $d = 25$  mm



Constante de propagación

## Slab

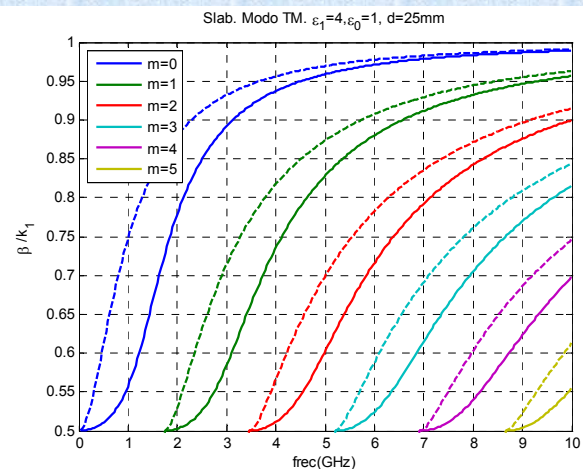
Modos TE y TM  $n_1 = 2$ ;  $n_0 = 1$ ;  $f = 4.5$  GHz;  $d = 25$  mm



Constante de propagación

## Slab

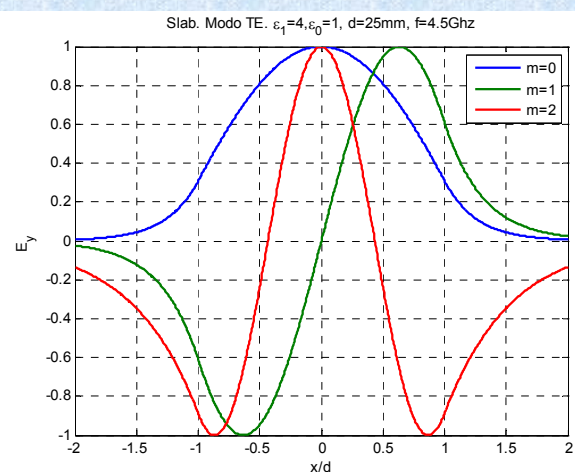
Modos TE y TM  $n_1 = 2$ ;  $n_0 = 1$ ;  $f = 4.5$  GHz;  $d = 25$  mm



Constante de propagación

## Slab

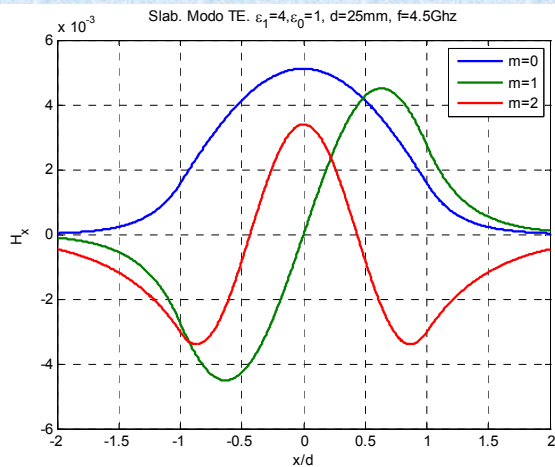
Modos TE  $n_1 = 2$ ;  $n_0 = 1$ ;  $f = 4.5$  GHz;  $d = 25$  mm



Campo  $E_y$

## Slab

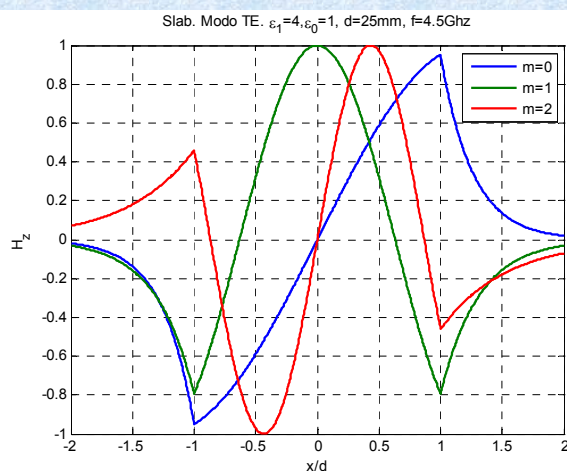
Modos TE  $n_1 = 2$ ;  $n_0 = 1$ ;  $f = 4.5\text{GHz}$ ;  $d = 25\text{ mm}$



Campo  $H_x$

## Slab

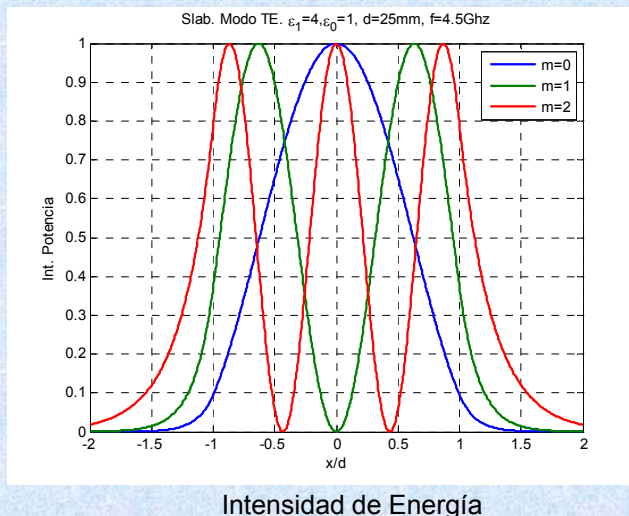
Modos TE  $n_1 = 2$ ;  $n_0 = 1$ ;  $f = 4.5\text{GHz}$ ;  $d = 25\text{ mm}$



Campo  $H_z$

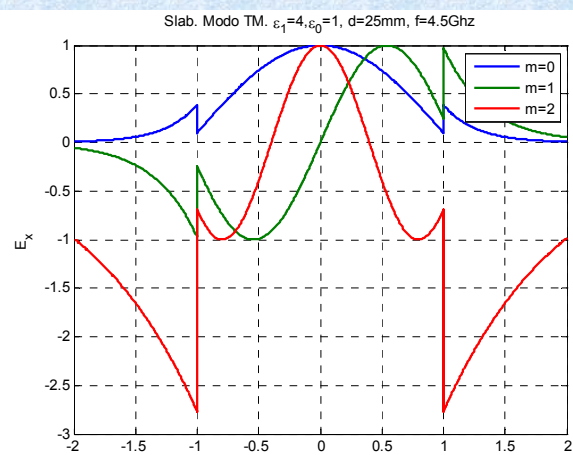
## Slab

Modos TE  $n_1 = 2$ ;  $n_0 = 1$ ;  $f = 4.5\text{GHz}$ ;  $d = 25\text{ mm}$



## Slab

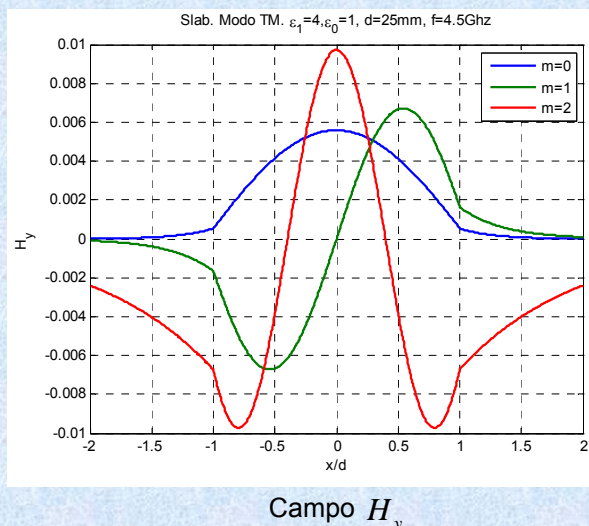
Modos TM  $n_1 = 2$ ;  $n_0 = 1$ ;  $f = 4.5\text{GHz}$ ;  $d = 25\text{ mm}$



Campo  $E_x$

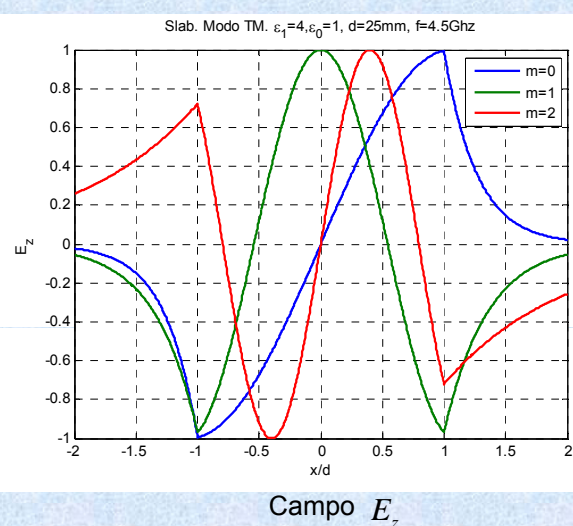
## Slab

Modos TM  $n_1 = 2$ ;  $n_0 = 1$ ;  $f = 4.5\text{GHz}$ ;  $d = 25\text{ mm}$



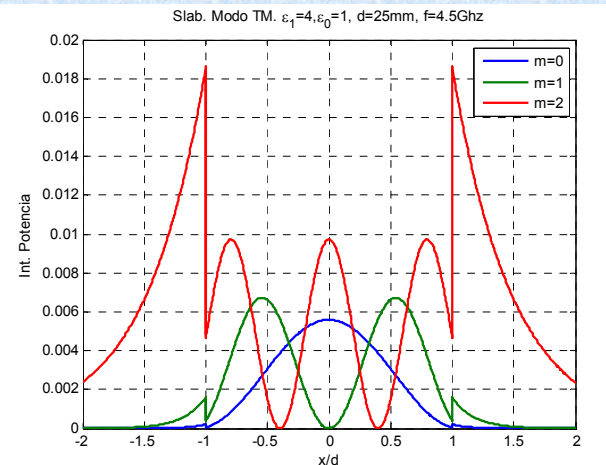
## Slab

Modos TM  $n_1 = 2$ ;  $n_0 = 1$ ;  $f = 4.5\text{GHz}$ ;  $d = 25\text{ mm}$



## Slab

Modos TM  $n_1 = 2$ ;  $n_0 = 1$ ;  $f = 4.5\text{GHz}$ ;  $d = 25\text{mm}$

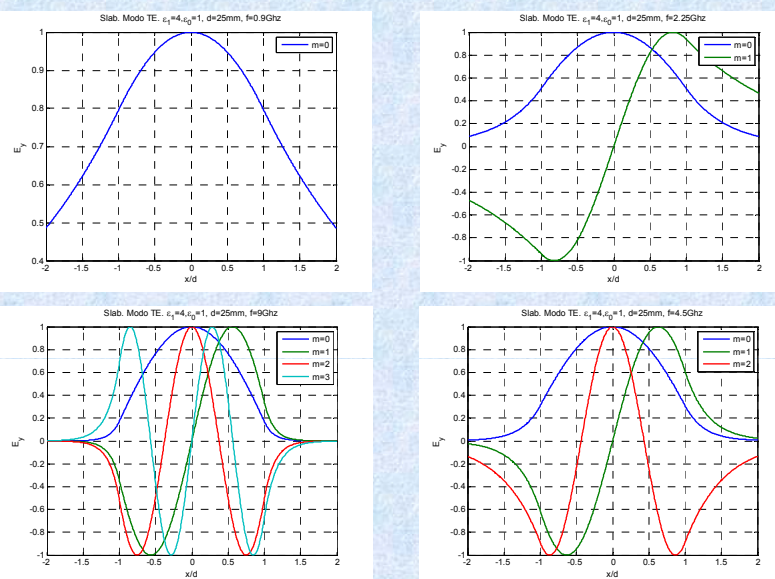


Intensidad de Energía

## Slab

Modos TE. Campo  $E_y$

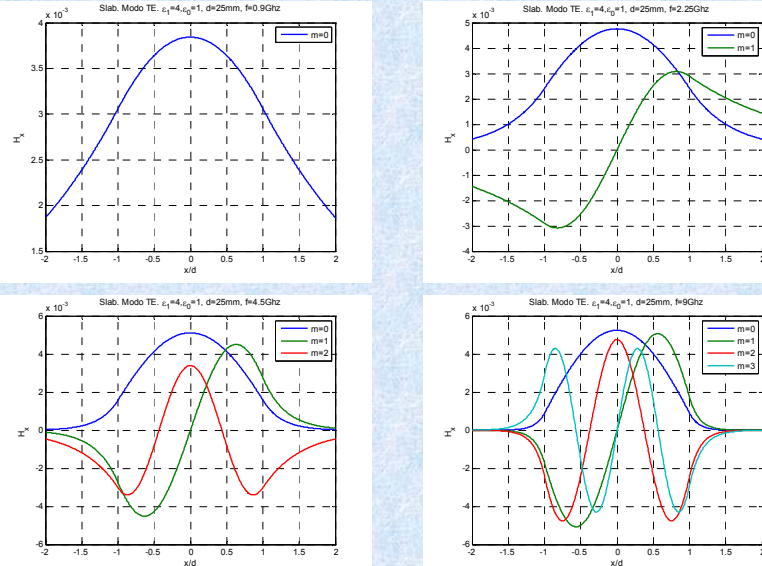
$n_1 = 2$ ;  $n_0 = 1$ ;  $d = 25\text{mm}$



## Slab

Modos TE. Campo  $H_x$

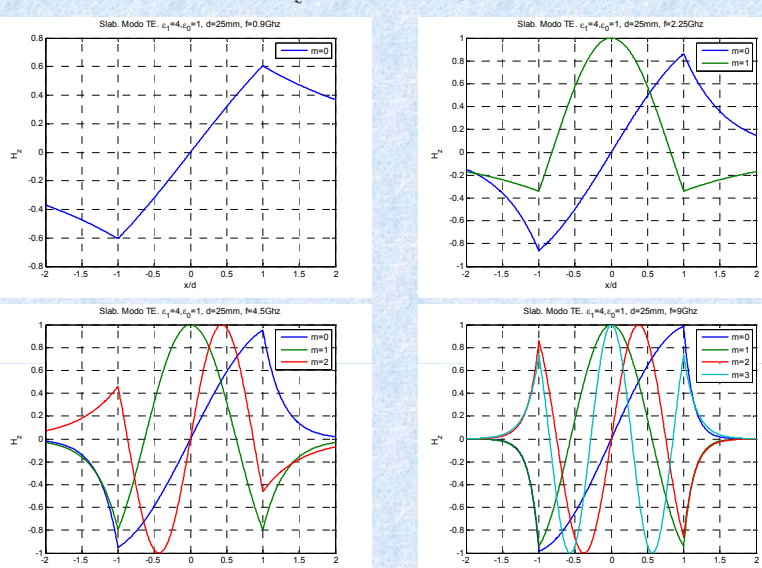
$$n_1 = 2; n_0 = 1; d = 25 \text{ mm}$$



## Slab

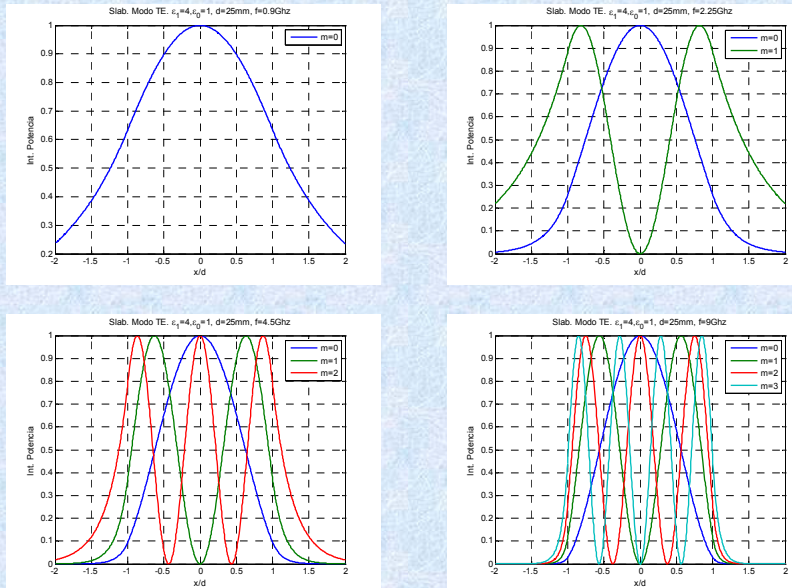
Modos TE. Campo  $H_z$

$$n_1 = 2; n_0 = 1; d = 25 \text{ mm}$$



## Slab

Modos TE. Intensidad de Potencia  $n_1 = 2; n_0 = 1; d = 25 \text{ mm}$



## Slab

### Conclusiones

Existen campos tanto en la capa de guiado como en las de confinamiento (aparente contradicción con la Teoría de Rayos).

El espesor de las capas de confinamiento debe ser suficientemente grande como para que los campos se extingan prácticamente en ellas.

La energía transportada ("intensidad de luz") es proporcional al cuadrado del E